

防衛庁技術研究本部・第4研究所 正員

杉山 昇

防衛庁技術研究本部・第4研究所 正員 工修 ○ 恒方俊之

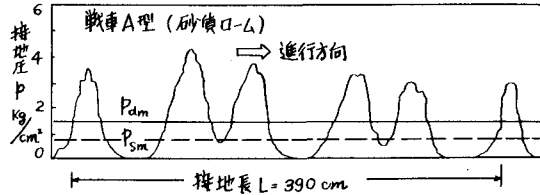
1. 緒 言

装軌車両の路外走行性に関する研究は軍事的な要求から当初米国において発展し、我が国では戦後ににおける急速な建設の機械化と歩調を合わせて、主として建設省、農林省の研究機関および大学の研究室において着実にすすめられてきた。著者らは戦車がもつ路外における高速自走性と一般の建設機械がもつ高作業性とともに具備した軍用土木機械を開発する立場から、多くの示唆に富むこれらの研究に基づいて、つきに示す二つの方向から履帶の性能向上に関する研究に着手した。すなはち、第一は高速走行時に履帶が受ける外力の評価とそれによる履板内部の応力解析など、主として車両工学的な立場からのものである。第二は履帶によく地盤が変形されるととき、履帶が土から受けける反力の解析、すなはち、牽引力と走行抵抗の評価に関する土質工学的な問題である。本報告においては後者の問題に属する研究の一歩として、履板の現下に関する実験の結果を示し、それによって明らかにされた2,3の問題点を指摘する。

2. 履板の現下を支配する各種の要因

路外走行車両の性能は車両の走行抵抗の主要な原因となる現下量の大小にかかっているといえるが、荷重の大きさ・載荷速度・荷重を受ける部分の形状寸法・地盤を構成する土の力学的性質などによつて現下の挙動が異なるため、まず装軌車両が走行可能な場合にこれらの要因がいかなる状態にあるかを検討する必要がある。

走行可能な装軌車両の直下の地盤が受けける荷重は動的なものであり、平均接地圧 P_{sm} をはるかに越えたものであることは、すでに多くの研究者によつて指摘されていようと云ふのである。図-



1は著者らが行なった実験の一例を示すもので

図-1 走行時の接地圧

(P_{dam} : 動荷重の平均)，実験方法には未だかなりの問題点を残しているが、およそつきのことことが指摘される。すなはち、車両の荷重は転輪を通じて履帶に伝達されるが、それは転輪直下の履板に集中しており、転輪と転輪の間に位置する履板はほとんど荷重を受けていないことが推測される。したがつて、まず予備的に静的現下の実験を行なうにしてもその荷重は平均接地圧の数倍の範囲を含んでいくなければならないことがわかる。また、二の種の実験とはいわゆる Size effect が顕著であり、しかもその定量的な評価が十分ではないから、できるかぎり実物大での実験を行なうことが必要である。つぎに、地盤支持力の大小によりて、荷重と現下との関係は全般剪断破壊を起すようなものといわゆる進行性破壊に相当するものとがあり、土工作業時や路外走行時における履板の現下は一般に後者の場合が多いと考えられてゐる。しかしながら、すでに現下した後の車両の走行を考えるときには心からしても後者の状態であると断言できないようである。また、このような現下の挙動は土の種類・含水比および二ねんがえしの程度などによつて、広い範囲に変化するから、基本的な現象の解明を行なうためには一部の要因を固定して単純化する必要がある。

3. 実験装置および方法

上に示した諸表を考慮して、著者らは広範囲な荷重強度の下における実物履板と実物大の平板とを用いて現下実験を行ない、含水比をほぼ一定に管理した地盤における現下の挙動を検討した。実験装置および方法、実験に用いた履板については別報に述べられてるので本文では省略する。図-2は現下実験を行なう大砂質ローム土槽の締固め状態を示すもので、実車の走行テストコースに近い状態になるよう努めた。

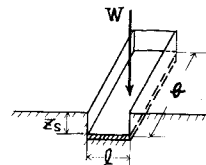
4. 実験結果と考察

本実験は動的沈下を解明する準備的な段階として行なう。図-2 地盤の締固め状態
た静的載荷状態におけるものであるが、静的沈下にも単に垂直荷重をかけた場合の沈下 (Static沉降)
と、さらに水平方向にこれを牽引した場合の沈下 (Slip沉降) とがある。系統的な多くの実験によ
つて M.G. Bokkeber ガ展開した理論は、現在各方面で批判されてゐるが、車両と土質の力学的性質とを
関連づける数少ない研究の一つであるから、ここでは実験結果と二の理論と出発点として整理し、向
題の解明を行なうことに留める。

(1) Static sinkage: 図-3に示すように、幅 a （履帶の幅に相当する）長さ s （履帶のピッチに相当する）の平板に荷重 W を加えたりとき、沈下量と接地圧との関係は次式で表わされる。

$$\sum_s^n = \frac{1}{k_s} p \quad \dots \dots \dots (1) , \quad k_s = \frac{k_c}{l} + k_\phi \quad \dots \dots \dots (2)$$

明記の説明 - 3



ここで、 Z_s : 沈下量 (Static沉降量) (cm), $p (=W/g \cdot l)$: 接地圧 (kg/cm^2), l : 平板の長さ (cm), k_s : Modulus of soil deformation, k_ϕ, k_c, n : 定数である。

きず、 $\theta = 45^\circ$, $l = 30\text{ cm}$ の平板と $\theta = 45^\circ$, $l = 15\text{ cm}$ の平板によつて沈下実験を行ひ、各地盤の土質に対する K_ϕ , K_c , n の値を求めめたのち、グローサーを持つ同寸の模型履板と実物履板とについて同様な実験を行ひ、履板の形状・材質・グローサーの有無および生のパタンによつて、 K_s , n の値がどのような影響を受けるかを調べる。

図-4,5,6は砂、砂質ローム、粘土(関東ローム)地盤における平板の沈下-荷重の関係を示すものである。この実験値から(1)式におけるようになる。また、同寸模型履板、実物履板の場合にも含水比が同じの場合と同じ値であるとすれば、 R_s の値はそれがどの値についても同じとなる。

図-7～10は砂、砂質ロームにおける同寸模型履板と実物履板の実験値をプロットしたものである（図中、M：ゴム製履板、RP：ゴムパット付履板、S：鉄製履板を示す）。図中の実線は表-2に示した式を用いて(1)式を示したもので、点線は実験値の傾向を(1)式の形で表わしたものであり。

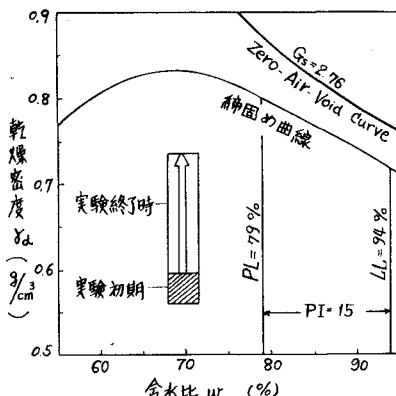


図-2 地盤の締固め状態

	砂	砂質土	粘土
k_ϕ	0.42	0.26	0.12
k_c	6.6	0.45	2.1
k_s ($l=30$)	0.64	0.27	0.19
n	1.2	0.97	0.79

表-1 実験から得た定数

この両者を比較することによって、およそノギのようなことが推論されよう。

(ii) 砂地盤では、砂質ローム地盤に比較して実験初期の地盤支圧力を一定に管理すことが困難であるため、実験値のばらつきが大きい。また、実物履板では載荷の条件が平板の場合と若干異なるため現下量とのものの比較はできない。しかししながら、実寸模型履板の場合と実物履板の場合も指標の値は平板のそれとほぼ同一の値であることがわかる。つぎに、図-8においてゴム履板および

寸法	履板 枚数	ℓ	f	砂		砂質ローム	
				k_s	n	k_s	n
同寸模型履板	2	30	45	0.64		0.27	
	3	46	58	0.56		0.27	
	3	45	50	0.57		0.27	
	3	46	53	0.56		0.27	
	3	42	41	0.58		0.27	
	2	40	56	0.59		0.27	
	2	38	86	0.60		0.27	
						1.2	0.97

表-2 定数の計算値

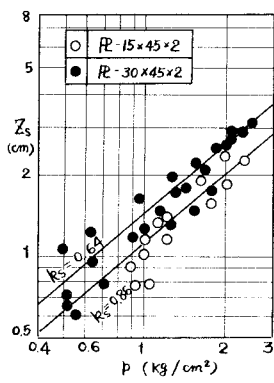


図-4 砂(平板)

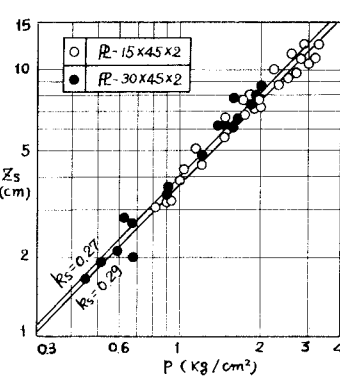


図-5 砂質ローム(平板)

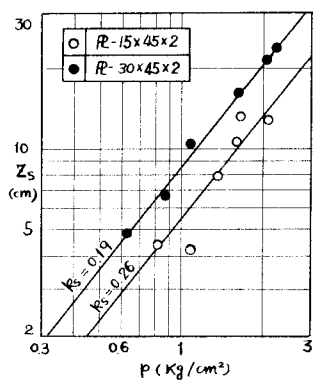


図-6 粘土(平板)

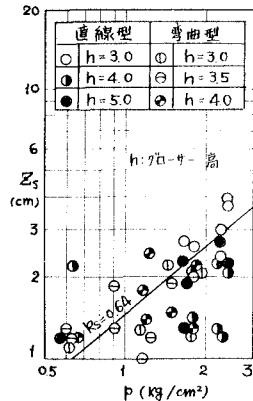


図-7 砂(同寸模型履板)

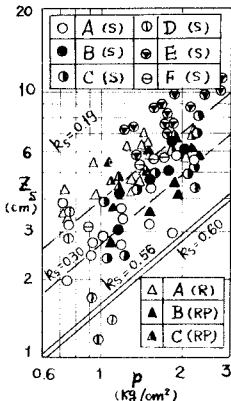


図-8 砂(実物履板)

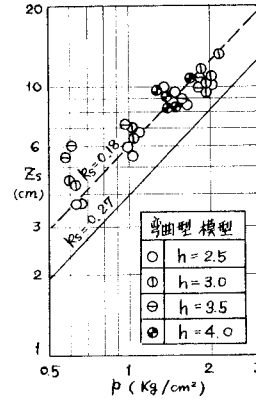


図-9 砂質ローム(同寸模型履板)

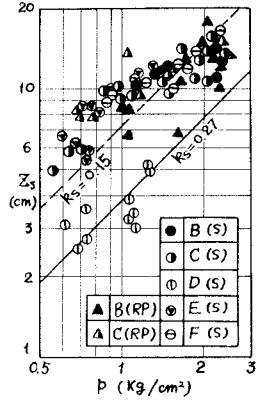


図-10 砂質ローム(実物履板)

ゴムパット付履板と鉄履板の現下量とを比較すると(E(S)三角履板を除く)，前者の方がやや大きいことがわかる。これは，摩擦係数の相異による影響と考えられるが，前者の場合には履板底部の凹部が少なく，現下の際に砂が側方へ逃げる現象が少ないと想われる。

(iii) 砂質ローム地盤では実験値のばらつきは比較的少なく，砂の場合と同様にゴム履板と鉄履板との差は見られない。砂質ロームの場合にも，実物履板では載荷の条件が平板の場合と異なため現下量

他のものの比較はできないが、図-9において同寸模型履板と平板の沈下量とを比較すると前者の方がやや大きい。これから、グローザーによる程度現下を増大させる効果があることが推測できる。

(iii) 図-8, 10にはE型三角履板の実験値がプロットされているが、他の履板とほぼ同様な傾向を示しており、三角履板の現下も平板の現下に用いた(1)式の形で表わし得ることがわかる。

(2) Slip sinkage: 垂直荷重Wによって履板がZ_jだけ現下し終ったとき、これを水平方向にXの力で牽引すると、履板は水平方向に滑りつつさらに現下する。このときの現下量Z_jをSlip sinkageと呼んでいる。いま滑り出しへ履板直下の地盤を持力P₀とすると、Slip sinkageは(3)式のように表わされる。

$$\frac{Z_j}{j} = \frac{W - W_0}{H} = \frac{W}{H} \left(1 - \frac{W_0}{W} \right) \dots \dots (3), \quad W_0 = P_0 \cdot \ell \dots \dots (4)$$

ここに、Z_j: 滑り量(cm), P₀: 単位面積当りの地盤支持力(Kg/cm²)である。図-11は各種のW, Hについて牽引力が最大となるときのZ_jとjとの測定値と著者らの実験結果を示すもので、この範囲では履板によってZ_j/jが一定となる傾向が見られますが、これだけではつきりしたことがいえない。ここで最も問題となるのは、(4)式における支持力P₀の評価である。BjelkeenはTerzaghiの支持力公式から、局所剪断破壊に対する次式のようにしてP₀を求めるとしている。

$$P_0 = \frac{2}{3} C N'_c + \frac{1}{2} \gamma \ell N'_q + \gamma (Z_s + Z_j) N'_q \dots \dots (5)$$

ここに、C: 粘着力(Kg/cm²), N'_c, N'_q, N'_{q'}: 支持力係数, γ: 土の単位体積重量(Kg/cm³)である。本実験で用いた砂質ローム地盤(C=0.2, φ=23°)では、実験よりZ=Z_s+Z_jによって図-12のように与えられるから、(5)式からZ_jを計算すると図-13に示す実線のようになる。図-13では、実際にはP<P₀であるにもかかわらず現下が大きく、Slip sinkageはどうやらかといえましても(1)式で表わされるZ_jが現下の挙動を示しており、その方が安全側に現下量を評価できると考えられる。

5. 結 言

本報告では、Static sinkageについて平板の現下と実物履板の現下とを比較し、Slip sinkageについては支持力P₀の評価に関する問題点をあげてまとめた。今後は実験の精度を高めるとともに、最も問題となる粘土地盤について実験を行なう予定である。

最後に、有益な助言を賜った防衛大学校・大平空徳教授ならびに終始其に実験を行なった吉田徳常君に厚く感謝の意を表す。次第である。

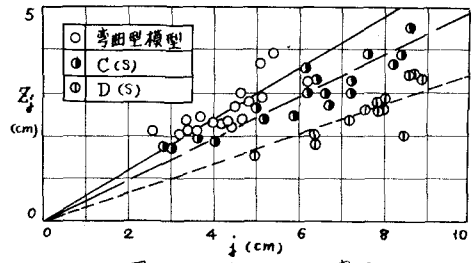


図-11 Z_j/jとjとの関係

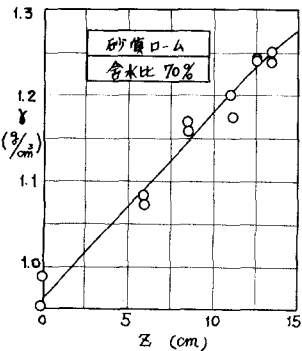


図-12 ZとZ_jとの関係

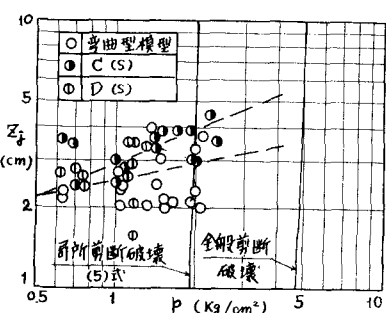


図-13 Z_jとPとの関係